

# بررسی تأثیر اسلامپ بتن در ظرفیت باربری فشاری ریزشمع بتنی درجا (مطالعه‌ی موردی ساختگاه سرخرود)

عیسی شوشپاشا (دانشیار)

رضا نورزاد<sup>\*</sup> (دانشیار)

محمدحسن کاشی‌بور (کارشناس ارشد)

سید جواد جلالی (دانشجوی دکتری)

دانشکده‌ی هندسی عمران، دانشگاه صنعتی نوشیروانی با پایل

مهمنشی عمان شرف، (جمهوری اسلامی ایران)، شماره ۲/۴، ص. ۱۳۹۵-۱۳۹۶ (پادشاهی ف)

دوری ۳، شماره ۲/۴، ص. ۱۳۹۵-۱۳۹۶ (پادشاهی ف)

در مناطقی با خاک‌های سطحی که ویژگی‌های مکانیکی ضعیفی دارند، استفاده از بتی‌های عمیق یکی از راه حل‌هاست. در این صورت، پی‌های عمیق توانایی حمل نیروهای وارد را دارند. در این راستا پژوهشگران با انجام پژوهش‌های آزمایشگاهی به بررسی پارامترهای گوناگون تأثیرگذار در رفتار ریزشمع پرداخته‌اند. در این نوشتار ظرفیت باربری ریزشمع‌های منفرد درجای بتنی با بررسی تأثیر اسلامپ‌های مقاومت در خاک ماسه‌یی بد دانه‌بندی شده‌ی منطقه‌ی سرخرود مورد بررسی قرار گرفته است. آزمایش‌های ظرفیت باربری ریزشمع بر روی ۱۵ نمونه ریزشمع به طول ۱۵° و قطر ۱۲ سانتی‌متر انجام شده است. بتن ریزشمع‌ها در ۵ گروه مقاومت ما مقاومت فشاری ۲۱۰ کیلوگرم بر سانتی‌متر مربع بوده است. طبق مشاهده‌های تجربی، افزایش اسلامپ بتن تشکیل دهنده‌ی بدنه‌ی ریزشمع از ۱۰ به ۲۴ سانتی‌متر متوجه به افزایشی در حدود ۲ برابر در ظرفیت باربری ریزشمع شده است. در انتهای نوشتار، ظرفیت باربری ریزشمع با روش‌های متداول مقایسه و مورد بحث قرار گرفته است.

shooshpasha@nit.ac.ir  
rnoo864@nit.ac.ir  
mh.khashipour@yahoo.com  
sj.jalali@yahoo.com

واژگان کلیدی: ریزشمع درجا، ظرفیت باربری، اسلامپ بتن، خاک ماسه‌یی  
سرخرود.

## ۱. مقدمه

می‌شوند، که البته آنها نیز با خواصی مشابه روش‌هایی می‌شوند. اساس روش‌های مستقیم، ایجاد رابطه‌ی براساس آزمون‌های درجا با ظرفیت باربری پی‌ی از قبیل: SPT، CPT، پرسیومتری، دیلاتومتری، برش پره، و بارگذاری ریزشمع است. در تحلیل استاتیکی از تحلیل‌های تئوریک رایج در مکانیک خاک و روابط حاصل با استفاده از پارامترهای مقاومت برشی خاک در حالت‌های تشکیلی و مؤثر بر مبنای فرض مدل‌های مختلف گسیختگی برای کف و جدار متناسب با اندرکشنس خاک و ریزشمع استفاده می‌شود. به عنوان یک روش مکمل نیز می‌توان از نتایج آزمایش‌های درجا، که اطلاعات پیوسته‌یی از خاک محل در شرایط واقعی در عمق را فراهم می‌کنند، توان باربری ریزشمع‌ها را به دست آورد، که روابط ارائه شده در این خصوص تا حدودی تحلیلی ولی بیشتر تجربی است. با انجام آزمایش بارگذاری، ریزشمع در شرایط واقعی تحت بار استاتیکی قرار می‌گیرد و رفتار بار - تغییرمکان آن در حالت‌های مختلف مطالعه می‌شود. از مزایای عمدی روش مذکور ارزیابی مستقیم ظرفیت باربری ریزشمع است. در این پژوهش اثر اسلامپ‌های مختلف ریزشمع‌های بتنی درجا در ظرفیت باربری خاک‌های ماسه‌یی بررسی شده است.

تعیین ظرفیت باربری پی‌های عمیق همواره از دغدغه‌های مهندسان زنوتکنیک است. از دلایل این موضوع می‌توان به پیچیدگی در رفتار ذاتی خاک، طول نسبتاً عمیق این گونه سیستم‌های پی‌سازی، و مواجهه با لایه‌های متعدد خاک با رفتار گوناگون اشاره کرد. هم‌چنین با توجه به اینکه اساساً کاربرد پی‌های عمیق در خاک‌های مسئله‌دار و یا بارهای بزرگ است، بنا بر این اغلب در پژوهه‌های حائز اهمیت از آن‌ها استفاده می‌شود. همچنین به دلیل طبیعت نسبتاً پر هزینه‌ی این گونه پی‌ها، که نیاز به مصالح زیاد و نیروی انسانی متخصص و ماشین آلات اغلب سنگین دارند، هرگونه تلاشی در جهت بهبود دقت در طراحی و اجرا در رابطه با این نوع سیستم بی‌سازی حائز اهمیت است.

به طور کلی روش‌های تعیین ظرفیت باربری پی‌های عمیق به ۲ دسته‌ی مستقیم و غیرمستقیم تقسیم می‌شوند. روش‌های غیرمستقیم، شامل انواع تحلیل‌های استاتیکی

\* نویسنده مسئول

تاریخ: دریافت ۲۵، ۱۳۹۳/۹، /۱۳۹۴، ۲/۲۸، /۱۳۹۴، ۳/۲۶، پذیرش ۱۳۹۴، ۳/۲۶.

طول جدار ریزشمع است، از رابطه‌ی ۲ به دست می‌آید:

$$Q_f = \int_{surface} f_s(z) dz \quad (2)$$

که در آن،  $f_s$  تابعی از جنس خاک، نوع، و جنس ریزشمع و شرایط بارگذاری است. روش‌های مختلف به دست آوردن مقادیر  $f_s$  برای ریزشمع‌های حفاری شده در جدول ۱ ارائه شده است. مقاومت نوک ریزشمع از طریق رابطه‌ی ۳ محاسبه می‌شود:

$$Q_b = f_b A_t \quad (3)$$

که در آن،  $f_b$  ظرفیت نهایی نوک ریزشمع و  $A_t$  سطح مقطع نوک ریزشمع است، که با استفاده از روابط بیان شده در جدول ۲ قابل محاسبه است.

به‌طورکلی آزمایش بارگذاری ریزشمع یکی از مهم‌ترین ابزارها برای مقابله با عدم قطعیت در طراحی و ساخت شالوده‌های ریزشمعی است.<sup>[۲]</sup> در این نوشتار، منظور از بارگذاری ریزشمع، همان بارگذاری استاتیکی ریزشمع است. برخی پژوهشگران روش‌های متفاوتی را برای انجام آزمایش بارگذاری ریزشمع، پیشنهاد کرده‌اند.<sup>[۴-۶]</sup> مشخصات آزمایش و روش انجام این آزمایش‌ها در استانداردهای مختلفی از جمله: ASTM D1143<sup>[۷]</sup>، BS800<sup>[۸]</sup>، ISSMFE<sup>[۹]</sup>، PNAP66<sup>[۱۰]</sup>، و ASTM D1143<sup>[۱۱]</sup> ارائه شده است.

برخی از عملکردها و کاربردهای آزمایش بارگذاری ریزشمع شامل: صحبت‌سنجی پارامترهای طراحی، بررسی تأثیر روش‌های ساخت در ظرفیت بارگذاری شالوده‌ها، و ارائه داده‌ها برای بهبود روش‌های طراحی مورد استفاده است.<sup>[۱۲]</sup> در این پژوهش با هدف بررسی تأثیر روش ساخت بن در ریزشمع‌های درجارتی و با استفاده از دستورالعمل ارائه شده در استاندارد M/D1143/D1143<sup>[۱۳]</sup> آزمایش بارگذاری ریزشمع بر روی ریزشمع‌های بتنی انجام شده است. به‌طورکلی در استاندارد ذکر شده، آزمایش‌های مختلفی از قبیل: آزمایش سرعی، آزمایش نگهداری شده، آزمایش نگهداری شده با بارگذاری بیش از حد، آزمایش با بازه‌ی زمانی ثابت، آزمایش با نزدیکی نفوذ ثابت، آزمایش با افزایش جابه‌جایی ثابت، و آزمایش بارگذاری دوره‌ی بیان شده است.<sup>[۱۴]</sup> در این پژوهش از روش آزمایش با نزدیکی نفوذ ثابت به دلیل محدودیت‌های تجهیزات استفاده شده است.

جدول ۱. روش‌های مختلف ارزیابی ظرفیت بارگذاری ریزشمع‌های حفاری شده.<sup>[۱۵]</sup>

نوع خاک	رابطه	توضیحات	مرجع
رس	$f_s = \alpha C_u$	$\alpha = 0,45$ برابر مقادیر مشخص برای ریزشمع کوبی‌شی فلمنگ و همکاران <sup>(۱۹۸۵)</sup>	اسکمپتون <sup>(۱۹۵۹)</sup>
مسه‌ی سیلیسی	$f_s = K \cdot \tan \delta \cdot \sigma'_v$	$K = ۰,۵(۱ + k_0)$ مقدار $k_0$ برای $۰,۲/۳$ تا $۱$ بوده است	فلمنگ و همکاران <sup>(۱۹۸۵)</sup> استاس و کولهاوی <sup>(۱۹۸۴)</sup>
مسه‌ی آهکی غیرسیمانی	$f_s = \beta \cdot \sigma'_v$	$\beta = ۰,۱$ $\beta = ۰,۲$ $\beta = ۰,۳$ برای $\varphi' = ۲۳^\circ$ برای $\varphi' = ۳۵^\circ$ برای $\varphi' = ۳۸^\circ$	میرهوف <sup>(۱۹۷۶)</sup>
		$\beta = ۰,۷ \tan(\varphi' - ۰,۵)$	کرفت و لیونز <sup>(۱۹۷۴)</sup>
	$f_s = \beta \cdot \sigma'_v$ ( $f_s \leq f_{s\lim}$ )	$\beta = ۰,۸$ تا $۰,۵$ $f_{s\lim} = ۱۰۰ \text{ kPa}$ تا $f_{s\lim} = ۶۰ \text{ kPa}$	پلوس <sup>(۱۹۸۸)</sup>

از آنجایی که عمدۀ سازه‌ها با کاربری عمومی مثل هتل‌ها، اداره‌ها، و مجتمع‌های مسکونی در نوار ساحلی دریای خزر، که عمدتاً از نوع خاک‌های ماسه‌بی هستند، در چندین طبقه طراحی می‌شوند و در حالت عادی خاک زیر فونداسیون ظرفیت بارگذاری به لحاظ بارگذاری لرزه‌ی توجه متخصصان و کارشناسان این حرفه را به سمت استفاده از انواع ریزشمع‌ها فراهم کرده است، لذا استفاده از روزافزون از سیستم ریزشمع‌های بتنی درجا و همچنین نحوه‌ی بتن ریزی و عمل آوری این‌گونه سازه‌ها اهمیت بسیاری دارد. در این راستا عدد اسلام‌پ متناسب چهت افزایش اطمینان و بهبود در روند ساخت حساسیت خاصی دارد، که به آن پرداخته شده است. هدف از انجام این پژوهش ارزیابی تأثیر اسلام‌پ‌های مختلف در ریزشمع‌های بتنی درجا در افزایش ظرفیت بارگذاری در خاک‌های ماسه‌بی است. به همین منظور ریزشمع‌های با ابعاد و اندازه‌های یکسان با اسلام‌پ‌های مختلف مورد ارزیابی قرار گرفته است. در این پژوهش با توجه به نتایج آزمایش‌های بارگذاری بر روی ریزشمع بتنی درجا بدون جابه‌جایی براساس روش آهنگ نفوذ ثابت، نمودارهای بار - نشست ارائه شده‌اند، که با روش‌های متدالوی تعیین ظرفیت بارگذاری ریزشمع‌ها مقایسه شده‌اند، تا اثرات اسلام‌پ بتن در ظرفیت بارگذاری خاک‌های ماسه‌بی مشخص شود. برای این منظور اسلام‌پ‌های ۱۰، ۱۲، ۱۵، ۲۰ و ۲۴ استفاده شده است. با توجه به فاصله‌ی عددی بین اسلام‌پ‌های انتخاب شده، بررسی اثر اسلام‌پ در ظرفیت بارگذاری فشاری ملموس ترمی شود.

## ۲. ارزیابی ظرفیت بارگذاری ریزشمع

ظرفیت بارگذاری نهایی فشاری ریزشمع ( $Q_{ult}$ ) به طور مرسوم شامل ۲ بخش است: بخش اول، ناشی از اصطکاک جدار ( $Q_f$ )؛ و بخش دوم، ناشی از مقاومت نوک ریزشمع ( $Q_b$ ) است، که در رابطه‌ی ۱ بیان شده است:<sup>[۱۶]</sup>

$$Q_{ult} = Q_f + Q_b - W \quad (1)$$

که در آن،  $w$  وزن ریزشمع، و  $Q_f$  و  $Q_b$  تابعی از تغییرمکان ریزشمع هستند و مقاومت حدی هر یک در تغییرمکان نسبی بسیار متفاوتی فعل می‌شود. مقاومت جداری یا اصطکاکی، که همان مجموع مقاومت بر بشی بین خاک و جدار ریزشمع ( $f_s$ ) در

جدول ۲. روش‌های مختلف ارزیابی ظرفیت باربری اصطکاکی جدار.<sup>[۲]</sup>

نوع خاک	رابطه	توضیحات	مرجع
رس	$f_b = N_c \cdot C_{ub}$	$L/d > 3$ برای $N_C = 9$ برابر مقدار $C_{ub}$ در مجاورت نزد ریزشمع است	اسکمپتون (۱۹۵۹)
ماسه‌ی سیلیسی	$f_b = N_q \cdot \sigma_v \leq f_{b\lim}$	رسم نمودار $N_q$ در مقابل $\varphi$ ارتباط $N_q$ با $\varphi$ , چگالی نسبی و تنش مؤثر میانگین فلمنیگ و همکاران (۱۹۶۱)	ای پی آی (۱۹۸۴) برزانترف و همکاران (۱۹۶۱)
ماسه‌ی آهکی غیرسیمانی	$f_b = N_q \cdot \sigma_v \leq f_{b\lim}$	به عنوان تابعی از $\varphi$ و قابلیت فشردگی حجمی $N_q$ وسیک (۱۹۷۲)	دادا و همکاران (۱۹۸۰) پلوس (۱۹۸۸)
ماسه‌ی آهکی غیرسیمانی	$f_b = N_q \cdot \sigma_v \leq f_{b\lim}$	حدوده‌ی $N_q$ بین ۸ تا ۲۰ از مقادیر کاهش‌یافته $\varphi$ محاسبه شود	دادا و اینگرام (۱۹۸۴)

استاندارد SPT نیز انجام شده است. نتایج مطالعات ژئوتکنیکی در جدول‌های ۳ و ۴ خلاصه شده است.

### ۳. مشخصات نمونه‌های مورد آزمایش

نمونه‌ها شامل ۱۵ ریزشمع بتی درجا با سطح مقطع دایره‌ی به طول ۱۵۰ و قطر ۲۴ سانتی‌متر هستند، که در ۵ گروه سه‌تایی با اسلامپ‌های ۱۰، ۱۲، ۱۵، ۲۰ و ۲۴ سانتی‌متر اجرا شده‌اند. اجرای ریزشمع‌ها شامل حفاری، جدارگذاری، و آرماتورگذاری به شکل اسپیرال صورت گرفته است (شکل ۲). نقشه‌ی ریزشمع‌های اجراشده در شکل ۳ نشان داده شده است.

از عوامل مؤثر در اسلامپ بتن می‌توان مقدار آب، مقدار سیمان، خصوصیات مصالح سنگی، افزودنی‌های بتن، و میزان هوای واردشده در بتن را نام برد. استاندارد ACI ۲۱۱ فرض می‌کند که برای یک بیشینه‌ی اندازه‌ی مشخص سنگ‌دانه، اسلامپ یا روانی بتن ناتیج مبتقی مقدار آب است. در واقع، در این حالت اسلامپ مستقل از سایر عوامل مانند دانه‌بندی و مقدار سیمان است. در این آزمایش اسلامپ‌های متفاوت با تغییر در میزان آب مصرفی در نسبت‌های اختلاط مصالح بتن به دست آمده است، یعنی مصالح سنگی و سیمان در تمامی اسلامپ‌ها ثابت در نظر گرفته شده و فقط با تغییر میزان آب مصرفی در نسبت اختلاط بتن اسلامپ‌های متفاوت ایجاد شده است. لذا نسبت مصالح استفاده شده در تهیه‌ی بتن در تمامی مراحل به دقت وزن و در هر مرحله با تغییر در میزان آب اسلامپ مورد نظر فراهم شده است. این تذکر لازم است که مصالح سنگی برای هر اسلامپ از دبوی واحدی با شرایط ثابت نگه‌داری استفاده شده و سیمان مصرفی از نوع سیمان نوع II مطابق استاندارد ASTM C ۱۵۰ است.

### ۴. نحوه انجام آزمایش

انجام بارگذاری روی ریزشمع‌ها، براساس استاندارد و آئین‌نامه‌های معتبر نیاز به مقدماتی دارد. در این آزمایش‌ها از یک جک هیدرولیکی و گیج فشاری ۱۰۰ بار، پس پستی اعمال فشار جهت اعمال نیروی فشاری استفاده شده است. براساس استاندارد ASTM D ۱۱۴۳-۸ Rوش‌های متفاوتی جهت بارگذاری روی ریزشمع‌ها وجود دارد، که در این پژوهش، روش آهنگ نفوذ ثابت برای بارگذاری انتخاب شده است، که در آن بر ریزشمع به طور پیوسته افزایش داده می‌شود، به طوری که بتواند آهنگ نفوذ ثابتی بین ۰ تا ۲/۵ میلی‌متر بر دقیقه را حفظ کند.

## ۳. معرفی مورد مطالعه

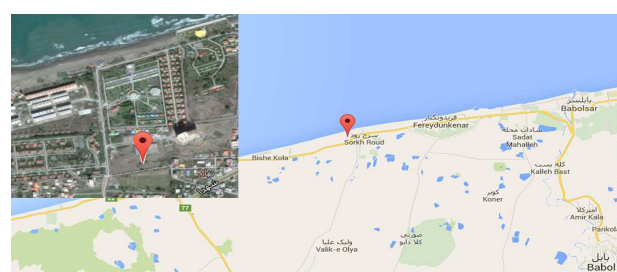
جهت انجام آزمایش‌ها و بررسی ظرفیت فشاری ریزشمع بتی درجا با درنظرگرفتن اسلامپ‌های مختلف بتن، سایتی به عنوان محل آزمایش در شهر سرخود - منطقه‌ی چاکسر واقع در ۸ کیلومتری شهرستان محمودآباد، که محل احداث پروژه‌ی ساختمانی ۱۶ طبقه است، انتخاب شده است.

### ۱.۳ معرفی محل آزمایش

زمین محل اجرای نمونه‌های آزمایشی در منطقه‌ی در دشت ساحلی دریای خزر در ناحیه‌ی البرز مرکزی، در شهر سرخود و منطقه‌ی ساحلی چاکسر واقع شده است (شکل ۱). از دیدگاه تقسیمات زمین‌شناسی ایران، منطقه‌ی مذکور جزء زون گرگان رشت محسوب می‌شود، که از نظر رسوبات زمین‌شناسی شامل رسوبات دوره‌ی پالئوزن و دوران چهارم زمین‌شناسی کواترنری است. این منطقه طی سالیان متعدد و در اثر عملکرد نیروهای زمین‌ساختی دامنه‌ی شمالی البرز و در اثر شکستگی‌ها و گسل‌های شمال و مازندران و طی تغییرات آب و هوایی و رواندگی و فرورفتگی قسمت دشتی ساحل دریای خزر به صورت فعلی درآمده است.

### ۲.۳ پارامترهای ژئوتکنیکی ساختگاه مورد مطالعه

در همین ساختگاه برای اجرای مجمع‌مسکونی پژوهشکان، مطالعات ژئوتکنیکی از قبل انجام شده است، که از اطلاعات آن در بررسی ظرفیت باربری ریزشمع‌ها استفاده شده است. عملیات حفاری به صورت ماشینی بوده و در حین آزمایش، نمونه‌هایی از اعمق مختلف جهت انجام آزمایش‌های آزمایشگاهی تهیه و آزمایش‌های نفوذ



شکل ۱. موقعیت ساختگاه مورد مطالعه.

جدول ۳. پارامترهای ژئوتکنیکی خاک.

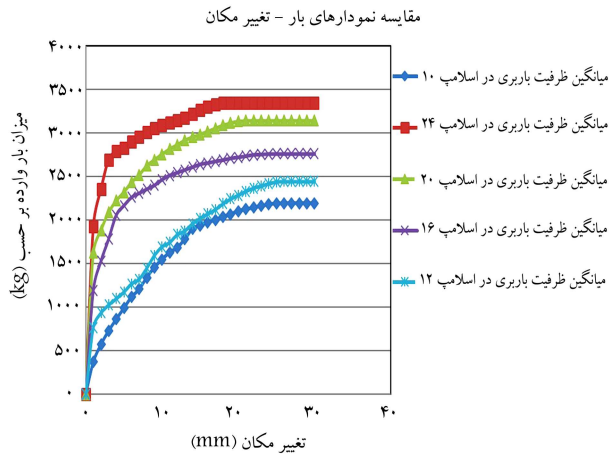
پارامترهای مقاومتی				وزن مخصوص در محل				مشخصات خاک							
عدد نفوذ استاندارد <i>C</i>	برش مستقیم <i>φ</i>	(SPT)	مرطوب خشک <i>γ (g/cm³)</i>	حدود ازیرگ W (%)	رطوبت نمونه PL LL e GS	طبقه‌بندی خاک (USCS)	تشریح نظری خاک	عمق (m)	جذع (cm)	تجویزه (m)	میزان آب (m)				
۱۶	۱,۶۷	۱,۹۹	۱۹,۲۰	NP	NP	۰,۶۳ ۲,۷۳	SP	۰,۵	۱	۱,۵	۰,۵				
۳۳	۱۷	۱,۷۵	۲,۰۶	۱۴,۴۸	NP	NP	۰,۵۹ ۲,۷۸	۱	۲	۲,۵	۰,۵				
۳۲	۱۹	۱,۸۳	۲,۰۷	۱۲,۹۳	NP	NP	۰,۵۵ ۲,۸۴	۲,۵	۳	۴,۵	۰,۵				
							SP	۰,۵	۴	۵	۰,۵				
							SP	۰,۵	۵	۵,۵	۰,۵				
							SP	۰,۵	۶	۵,۵	۰,۵				

جدول ۴. مشخصات دانه‌بندی خاک.

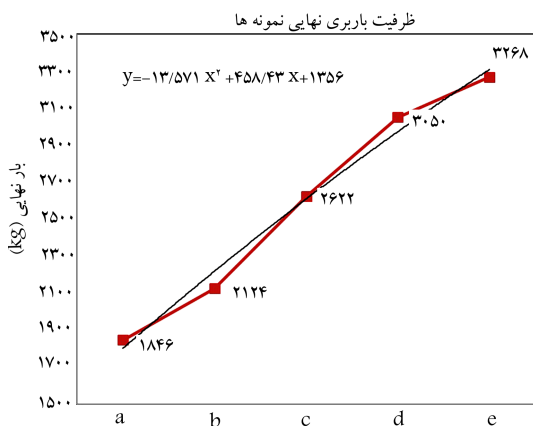
عمق (m)	نوع خاک	<i>C<sub>u</sub></i>	<i>C<sub>c</sub></i>	<i>P<sub>200</sub></i> (%)	<i>P<sub>f</sub></i> (%)	<i>D<sub>60</sub></i> (mm)	<i>D<sub>50</sub></i> (mm)	<i>D<sub>30</sub></i> (mm)	<i>D<sub>10</sub></i> (mm)
۲,۰	Sp	۱,۹۱۲	۰,۹۷۴	۱,۳۲	۱۰۰	۰,۲۸۹	۰,۲۶۱	۰,۲۰۶	۰,۱۵۱
۳,۵	Sp	۱,۷۸۷	۱,۰۲۴	۰,۳۲	۱۰۰	۰,۲۴۶	۰,۲۲۶	۰,۱۸۶	۰,۱۳۸
۵,۰	Sp	۱,۸۳۵	۱,۰۵۲	۰,۱۶	۱۰۰	۰,۲۴۱	۰,۲۲۲	۰,۱۸۳	۰,۱۳۱



شکل ۲. شماهی از نحوه انجام آزمایش و تجهیزات.



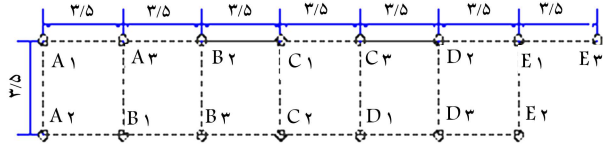
شکل ۴. نمودار تجمعی بار - تغییر مکان برای نمونه ها.



شکل ۵. تغییرات بار نهایی فشاری متوسط در هر اسلامپ.

جدول ۵. ظرفیت باربری نهایی نمونه ها.

شماره نمونه	اسلامپ	ظرفیت نهایی باربری (kg)	جابه جایی متناظر با ریزشمع (mm)	ریزشمع
۴,۸۰	۱۸۴۰	۱۰	A1	
۴,۸۰	۱۸۵۱	۱۰	A2	
۴,۸۰	۱۸۴۷	۱۰	A3	
۳,۹۰	۲۱۲۲	۱۲	B1	
۳,۹۰	۲۱۲۷	۱۲	B2	
۳,۹۰	۲۱۱۳	۱۲	B3	
۳,۳۰	۲۶۱۸	۱۶	C1	
۳,۳۰	۲۶۲۴	۱۶	C2	
۳,۳۰	۲۶۲۴	۱۶	C3	
۲,۸۰	۲۰۵۱	۲۰	D1	
۲,۸۰	۲۰۵۴	۲۰	D2	
۲,۸۰	۲۰۴۵	۲۰	D3	
۲,۵۰	۲۲۶۹	۲۴	E1	
۲,۵۰	۲۲۷۷	۲۴	E2	
۲,۵۰	۲۲۶۳	۲۴	E3	



شکل ۳. نقشه‌ی ریزشمع‌های اجرا شده در محل.

با توجه به انتخاب روش بارگذاری با آهنگ نفوذ ثابت، برای اینکه جک انتقال نیرو به روی ریزشمع عمود شود، سطح مقطع بالایی که در تماس با جک است، با سمباده کاملاً صاف شده است تا پستی و بلندی هنگام بتن ریزی از بین بود و صفحه‌ی زیر جک کاملاً با سطح مقطع ریزشمع در تماس باشد و انتقال نیرو به نوچه‌ی فلزی فازی در زیر و روی جک در محل اتصال با ریزشمع و شاه‌تیر استفاده شده است، تا از تمرکز تنش در محل‌های مذکور جلوگیری و بارگذاری بر روی ریزشمع کاملاً توزیع شود (شکل ۲ الف).

در این روش بارگذاری به صورتی انجام می‌شود که نزد نشست در خاک‌های دانه‌بی، ۱ میلی‌متر در دقیقه باشد. سپس نیرویی که منجر به چنین نشستی شده است، ثبت می‌شود. آزمایش تا رسیدن به نشستی برابر با ۱۵٪ قطر ریزشمع و یا رسیدن به یک بار ثابت ادامه داده می‌شود.

## ۴. نتایج

طی آزمایش‌های انجام‌گرفته در ۱۵ ریزشمع بتی با اسلامپ‌های ۲۰، ۱۶، ۱۲، ۱۰ و ۱۲ سانتی‌متر، مشخصی‌های بار - تغییر مکان در شکل ۴ و نتایج حاصل از آن در جدول ۵ ارائه شده است، که به تفصیل در این بخش مورد بررسی قرار گرفته است. همچنین این تذکر لازم است که مشخصی‌های بار - نشست ارائه شده در شکل ۴، برای هر اسلامپ مشخص، از میانگین نتایج بدست آمده از ۳ آزمایش بر روی ریزشمع‌ها بدست آمده است.

### ۱.۴. ظرفیت باربری نمونه‌ها

در تمام مشخصی‌های بارگذاری مشاهده می‌شود که نمونه‌ها صرف نظر از مقدار اسلامپ در پله‌های اولیه‌ی بارگذاری، رفتار خطی نسبتاً یکسان با جابه‌جاگاهی متناظر مشابه ارائه داده‌اند. در این محدوده، جابه‌جاگاهی‌ای بسیار کوچک اتفاق افتاده است. با توجه به مشاهده‌های صورت‌گرفته از این نقطه‌ی می‌توان صرف نظر از مقدار اسلامپ به عنوان نقطه‌ی تسلیم اولیه در اندرکشش خاک و ریزشمع یاد کرد. در تمامی حالت‌های اسلامپ، بارگذاری پس از عبور از مرحله‌ی خطی وارد محدوده با شبیب به نسبت تندتری شده است، که این مسیر تا رسیدن به بار مقاومت نهایی ادامه یافته است. نمونه‌ی ریزشمع، مورد آزمایش بارگذاری قرار گرفته و نتایج متوسط ظرفیت باربری برای هر اسلامپ به عنوان نتایج نمونه‌ی آن اسلامپ در نظر گرفته شده است.

### ۲.۴. مقاومت نهایی باربری متوسط

در تعیین مقاومت نهایی باربری با میانگین گرفتن از ۳ نمونه‌ی مورد آزمایش در هر اسلامپ، عدد بدست آمده به عنوان مقاومت نهایی باربری متوسط در جدول‌های ۷ و ۶ ارائه شده است.

جدول ۸. ظرفیت بار بری نهایی در حالت تئوری.

$Q_u$ (kg)	$Q_s$	$Q_p$
۲۱۹۰	روش بوسن	روش کوله‌واوی
۲۱۶۵	روش کوله‌واوی	روش مایرهوف با جابجایی کم
۱۳۴۸	روش جانبو	روش بوسن
۱۳۲۳	روش جانبو	روش مایرهوف با جابجایی کم
۲۲۴۷	روش سیپیک	روش بوسن
۲۲۲۲	روش سیپیک	روش مایرهوف با جابجایی کم
۳۰۲۳	روش مایرهوف	روش بوسن
۲۹۹۸	روش مایرهوف	روش مایرهوف با جابجایی کم

## ۶. نتیجه‌گیری

از نتایج آزمایش‌ها مشخص می‌شود که:

-- با افزایش اسلامپ، مقاومت فشاری ریزشمع افزایش می‌بادد. این نتایج نشان می‌دهند که میزان اختلاف در ظرفیت بار بری ریزشمع بین بتن مصروفی با پایین ترین اسلامپ و با بالاترین اسلامپ به ۱۰٪ می‌رسد. این امر اهمیت پارامتر اسلامپ بتن در ریزشمع‌های در جاریز را مورد تأیید قرار می‌دهد.

-- اختلاف مقاومت فشاری بین اسلامپ‌های پایین در مقایسه با اسلامپ‌های بالا بیشتر است و با افزایش اسلامپ این اختلاف کمتر می‌شود.

-- با افزایش عدد اسلامپ به دلیل آمیخته شدن جداره‌ی ریزشمع با خاک اطراف در برخی از پارامترهای خاک تغییراتی بموجود می‌آید، که شکل پذیری را کاهش می‌دهد.

-- افزایش اسلامپ در ریزشمع‌های بتنی در جاریز باعث افزایش سختی خاک اطراف ریزشمع می‌شود، که این مسئله باعث افزایش نیروهای داخلی ریزشمع می‌شود.

-- منحنی‌های بار-نشست در ریزشمع‌های بتنی فشاری درجا تقریباً به شکل سه‌می است.

-- طبق مشاهده‌های پس از آزمایش در اسلامپ‌های بالاتر سطحی کامل و پیوسته با اتصال کامل بین خاک و ریزشمع مشاهده می‌شود. ولی در اسلامپ‌های پایین، سطوحی ناهموار با خلل و فرج زیاد و بیوستگی‌های مقطعی با خاک مشاهده شده است. این عامل نشان‌دهنده‌ی سطح درگیری بیشتر با خاک و اتصال لایه‌یی از خاک به بدنه‌ی ریزشمع است. این امر، منجر به عملکرد بهتر اصطکاکی ریزشمع می‌شود.

جدول ۶. متوسط مقاومت بار بری مشاهده شده شمع‌ها در اسلامپ‌های مختلف.

ظرفیت نهایی (kg)	گروه ریزشمع	$E$	$D$	$C$	$B$	$A$
۲۲۶۸		۳۰۵۰	۲۶۲۲	۲۱۲۴	۱۸۴۶	

جدول ۷. وزن نمونه‌ی ریزشمع در هر اسلامپ.

$E$	$D$	$C$	$B$	$A$
۴۱,۶۵	۴۱/۱	۴۰,۵	۳۹,۹۵۰	۳۹,۷۵

همان‌گونه که مشاهده می‌شود با افزایش اسلامپ، میزان مقاومت بار بری بیشتری از ریزشمع‌ها مشاهده می‌شود (شکل ۵). این موضوع می‌تواند ناشی از چند پارامتر مانند: رهاسنگی بتن در هنگام اجرای ریزشمع با توجه به اسلامپ‌های بالاتر؛ ایجاد یک فشار جانبی هیدرواستاتیک جهت اتصال کامل سطوح خاک و ریزشمع؛ نفوذ دوغاب بتن با اسلامپ بالاتر در خاک اطراف بدنه؛ و ایجاد یک باند نازک از خاک تسليح شده با سیمان باشد، که باعث ایجاد رفتارهای بهتر بررشی در خاک می‌شود، که عمل‌بدنه‌ی ریزشمع در خاک را نیز امتداد می‌دهد. البته این موضوع نیز حائز اهمیت است که افزایش اسلامپ باعث فرار دوغاب بتن و کاهش مقاومت سازی‌ی شمع می‌شود، که اثر کاهشی در مقاومت سازه‌یی در این نوشتار بررسی نشده است.

## ۵. مقادیر به دست آمده از روابط تئوری

از اهداف انجام این پژوهش، مقایسه‌ی میزان مقاومت آزمایشگاهی نمونه‌ها با میزان مقاومت پیشنهادی پژوهشگران و آینه‌نامه‌های مختلف است. در جدول ۸، میزان مقاومت برخی مشاهده است، اختلاف فاحش بین روش‌های دارای ریزشمع که در این نتایج قبل مشاهده است، اصلی‌ترین موضوعی که در مسئله گستردگی و عدم تخمین مناسب از ظرفیت ریزشمع است، که این بارگذاری ریزشمع را نشان می‌دهد.

همان‌طور که در جدول ۸ ملاحظه می‌شود، روش‌های (جانبو<sub>p</sub> + بوسن<sub>s</sub> +  $Q_p$ ) و (جانبو<sub>p</sub> + مایرهوف با جابجایی کم  $Q_s$ ) کاملاً محافظه‌کارانه عمل می‌کنند و در مقابل روش (مایرهوف  $Q_p$  + بوسن<sub>s</sub> +  $Q_s$ ) به لحاظ ارائه‌ی ظرفیت بار بری با نتایج حاصل از آزمایش‌های بارگذاری جهت تعیین ظرفیت بار بری نهایی نزدیک‌تر است.

## پانوشت‌ها

1. quick test
2. maintained test
3. loading in excess of maintained test

4. constant time interval test
5. constant rate of penetration test
6. constant movement increment test
7. cyclic loading test

## منابع (References)

1. Ng, C.W., Simons, N.E. and Menzies, B.K., *A Short Course In Soil-Structure Engineering of Deep Foundations, Excavations and Tunnels*, Thomas Telford (2004).
2. Budhu, M., *Soil Mechanics and Foundations*, 3ed edition, John Wiley & Sons (2010).
3. Zhang, L. "Reliability verification using proof pile load tests", *J. Geotech. Geoenviron. Eng.*, **130**(11), pp. 1203-1213 (2004).
4. Weele, A.F. "A method of separating the bearing capacity of a test pile into skin friction and point resistance", *Proceedings, 4th International Conference on Soil Mechanics and Foundation Engineering*, **2**, London, England, pp. 76-80 (1957).
5. Whitaker, T. "Experiments with model piles in groups", *Geotechnique*, **7**(4), pp. 147-167 (1957).
6. Whitaker, T. and Cooke, R.W. "A new approach to pile testing", *Proceedings 5th International Conference on Soil Mechanics and Foundation Engineering*, **2**, Paris, France, pp. 171-176 (1961).
7. American Society for Testing and Materials, ASTM D1143, *Standard Test Method for Pile Under Static Axial Compression Load*, Annual Book of ASTM Standards, 04.08, ASTM International, West Conshohocken, PA (2005).
8. British Standards Institution (BSI), *British Standard Code of Practice For Foundations*, BS 8004, British Standards Institution, London (1986).
9. International Society of Soil Mechanics and Foundation Engineering (ISSMFE) Subcommittee on Field and Laboratory Testing, "Axial pile loading test. I: Static loading", *Geotech. Test. J.*, **8**(2), pp. 79-89 (1985).
10. Buildings Department of Hong Kong (BD), *Pile Foundations- Practice Notes For Authorized Persons And Registered Structural Engineers*, PNAP66, Buildings Department, Hong Kong (2002).
11. American Society for Testing and Materials, ASTM D1143/D1143M, *Standard Test Method for Pile Under Static Axial Compression Load*, Annual Book of ASTM Standards, 04.08, ASTM International, West Conshohocken, PA (2013).